

# 络合协同 RDB 处理 $\text{NO}_x$ 系统中 1 株反硝化菌的分离鉴定

徐飞, 陈浚\*, 吴石金, 蒋轶锋, 陈建孟

(浙江工业大学生物与环境工程学院, 杭州 310032)

**摘要:**从处理效率稳定在 85% 的  $\text{NO}_x$  废气络合处理系统——生物转鼓 (rotating drum biofilter, RDB) 中分离到 1 株异养型兼氧反硝化细菌, 命名为菌株 ND1。理化分析表明, ND1 为革兰氏染色阴性杆菌, 在培养基上可形成特征性干燥、皱缩样菌落, 黏附于琼脂表面, 并产生黄色色素, 以单极生鞭毛运动。其 16S rDNA 基因序列与典型的反硝化菌 *Pseudomonas stutzeri* 具有 97% 的相似性, 综合其外部形态特征、生理生化特征、Biolog 碳源利用特性以及 16S rDNA 系统发育学分析, ND1 鉴定为 *Pseudomonas stutzeri*。在 30℃, pH 7.2 的培养条件下, 以琥珀酸钠为碳源, 5 d 后该菌对硝酸根离子的去除率可以达到 100%, 对相同浓度的亚硝酸根离子的去除率达到 85%。

**关键词:**生物转鼓; 兼氧反硝化细菌; 16S rDNA 序列; *Pseudomonas stutzeri*; 系统发育学

中图分类号: X172 文献标识码: A 文章编号: 0250-3301(2010)07-1667-05

## Identification and Phylogenetic Analysis of an Isolated Denitrifier from Rotating Drum Biofilter

XU Fei, CHEN Jun, WU Shi-jin, JIANG Yi-feng, CHEN Jian-meng

(College of Biological and Environmental Engineering, Zhejiang University of Technology, Hangzhou 310032, China)

**Abstract:** A heterotrophic denitrifying strain named ND1 has been isolated from rotating drum biofilter (RDB) which was mainly used for the treatment of exhaust gas such as  $\text{NO}_x$ . It was proved to be Gram-negative. In addition, it was able to form dry and wrinkled colonies on the medium, adhere on the agar surface, produce yellow pigments and be motile with a single polar flagellum. It was identified as the *Pseudomonas stutzeri* according to morphological and physiological biochemical characteristics and 16S rDNA sequence analysis. Under the conditions of pH 7.2 and temperature 30℃, the  $\text{NO}_3^-$ -N removal efficiency by ND1 was up to 100% in 5 days, while the  $\text{NO}_2^-$ -N degradation ratio was only 85% by the strain DN1 when subjected to the same condition as the above.

**Key words:** rotating drum biofilter (RDB); heterotrophic anoxic denitrifier; 16S rDNA sequence; *Pseudomonas stutzeri*; phylogenetic analysis

氮氧化物 ( $\text{NO}_x$ , 其中 NO 占 95%) 是导致酸雨、光化学烟雾等一系列严重大气污染的主要污染物之一, 我国不少地区 NO 污染日益严重, 沿海部分工业发达地区大气污染物中 NO 浓度从 1996 ~ 2002 年增加了 42%<sup>[1]</sup>, 若不采取有效控制措施, 到 2020 年将达到 2 363 ~ 2 914 万 t, 将超过美国成为世界第一大  $\text{NO}_x$  排放国<sup>[2]</sup>。随着  $\text{NO}_x$  污染问题的日趋严重和人们对环境质量要求的不断提高, 有关废气脱氮技术的研究已迫在眉睫, 利用微生物技术处理废气的研究始于 20 世纪 80 年代, 由于其具有投资运行成本低、无二次污染、适用于大气量低浓度废气净化等优点, 已经成为国际上工业废气净化研究的热点课题<sup>[3]</sup>。生物转鼓过滤器<sup>[4-6]</sup> (rotating drum biofilter, RDB) 由密封外壳、内置生物填料转鼓和营养液槽 3 个部分构成。气态污染物进入外壳内空腔, 经过生物转鼓中微生物的降解后, 由转鼓内空心轴轴向排出。由于烟气中的  $\text{NO}_x$  主要以难溶于水的 NO 存在, NO

在液相中的低溶解度降低了 NO 在 RDB 中的传质效果, 不能更好地被微生物降解利用, 从而影响其去除效率。乙二胺四乙酸 (EDTA) 是一种重要的络合剂, 它能与 NO 结合成络合物, 使 NO 从气相转入液相, 络合物协同强化了 NO 气液传质的过程, 减小了 NO 传质过程中的液膜阻力, 大大加快了气液传质速率<sup>[7,8]</sup>, 然后  $\text{NO}_x$  在微生物代谢作用下被转化为无害的物质<sup>[9-11]</sup>。因此采用微生物学和分子生物学方法分离、筛选、鉴定本系统内的反硝化菌种, 可为 RDB 反硝化净化  $\text{NO}_x$  废气的实际应用奠定基础<sup>[12]</sup>。

本研究在 RDB 实现稳定处理  $\text{NO}_x$  效果的基础上, 对系统中的主要反硝化细菌进行了分离筛选, 获

收稿日期: 2009-09-15; 修订日期: 2010-01-06

基金项目: 国家自然科学基金项目 (20776134); 浙江省自然科学基金项目 (Y5080142)

作者简介: 徐飞 (1983 ~), 男, 硕士研究生, 主要研究方向为含氮废气的处理, E-mail: xfddhx@163.com

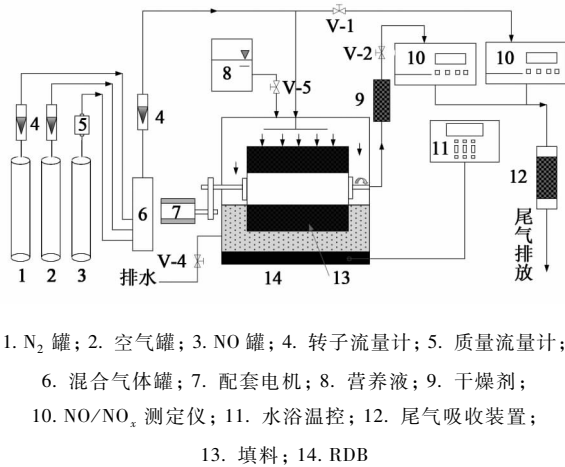
\* 通讯联系人, E-mail: bec@zjut.edu.cn

得了1株兼氧反硝化细菌,命名为菌株ND1.通过生理生化实验、Biolog碳源利用特性、16S rDNA序列分析,对分离筛选获得菌株进行了鉴定.

## 1 材料与方 法

### 1.1 菌种来源

取自稳定运行的RDB系统(图1),选用多孔泡沫聚醚型聚氨酯(PU-foam)作为生物填料,孔径为 $2.5\text{孔}\cdot\text{cm}^{-1}$ .



1. N<sub>2</sub>罐; 2. 空气罐; 3. NO罐; 4. 转子流量计; 5. 质量流量计;  
6. 混合气体罐; 7. 配套电机; 8. 营养液; 9. 干燥剂;  
10. NO/NO<sub>x</sub>测定仪; 11. 水浴温控; 12. 尾气吸收装置;  
13. 填料; 14. RDB

图1 RDB系统流程示意

Fig.1 Diagram of RDB system

运行条件如下:以葡萄糖作为碳源(C/N比为2.5),NO进气浓度 $400\text{mg}\cdot\text{L}^{-1}$ ,进气流量 $0.1\text{m}^3\cdot\text{h}^{-1}$ ,温度为 $30^\circ\text{C}$ ,转速 $0.5\text{r}\cdot\text{min}^{-1}$ ,pH维持在7~8、营养液2L(表1),更换率 $0.5\text{L}\cdot\text{d}^{-1}$ ,EDTA浓度为 $500\text{mg}\cdot\text{L}^{-1}$ .

表1 营养液的组成

Table 1 Component of nutrient solution

物质	浓度/ $\text{mg}\cdot\text{L}^{-1}$	物质	浓度/ $\text{mg}\cdot\text{L}^{-1}$
C <sub>6</sub> H <sub>12</sub> O <sub>6</sub>	10 000	CuSO <sub>4</sub>	1
KH <sub>2</sub> PO <sub>4</sub>	500	FeSO <sub>4</sub>	1
K <sub>2</sub> HPO <sub>4</sub>	500	MnSO <sub>4</sub>	5
MgSO <sub>4</sub> ·7H <sub>2</sub> O	100	Na <sub>2</sub> MoO <sub>4</sub>	1
CaCl <sub>2</sub>	50	ZnCl <sub>2</sub>	2

### 1.2 反硝化菌的分离筛选

#### 1.2.1 培养基的组成

分离培养基:琥珀酸钠 $10\,000\text{mg}\cdot\text{L}^{-1}$ ,KH<sub>2</sub>PO<sub>4</sub> $1\,000\text{mg}\cdot\text{L}^{-1}$ ,K<sub>2</sub>HPO<sub>4</sub> $1\,000\text{mg}\cdot\text{L}^{-1}$ ,MgSO<sub>4</sub>·7H<sub>2</sub>O $200\text{mg}\cdot\text{L}^{-1}$ ,CuSO<sub>4</sub> $1\text{mg}\cdot\text{L}^{-1}$ ,FeSO<sub>4</sub> $1\text{mg}\cdot\text{L}^{-1}$ ,MnSO<sub>4</sub> $5\text{mg}\cdot\text{L}^{-1}$ ,Na<sub>2</sub>MoO<sub>4</sub> $1\text{mg}\cdot\text{L}^{-1}$ ,ZnCl<sub>2</sub> $2\text{mg}\cdot\text{L}^{-1}$ ,BTB(1%溴百里酚蓝溶于酒精) $1\text{mg}\cdot\text{L}^{-1}$ ,琼脂 $20\,000\text{mg}\cdot\text{L}^{-1}$ ,NaNO<sub>3</sub> $1\,000$

$\text{mg}\cdot\text{L}^{-1}$ ,pH 7.2,121 $^\circ\text{C}$ 灭菌20 min.

复筛培养基:琥珀酸钠 $10\,000\text{mg}\cdot\text{L}^{-1}$ ,KH<sub>2</sub>PO<sub>4</sub> $1\,000\text{mg}\cdot\text{L}^{-1}$ ,K<sub>2</sub>HPO<sub>4</sub> $1\,000\text{mg}\cdot\text{L}^{-1}$ ,MgSO<sub>4</sub>·7H<sub>2</sub>O $200\text{mg}\cdot\text{L}^{-1}$ ,CuSO<sub>4</sub> $1\text{mg}\cdot\text{L}^{-1}$ ,FeSO<sub>4</sub> $1\text{mg}\cdot\text{L}^{-1}$ ,MnSO<sub>4</sub> $5\text{mg}\cdot\text{L}^{-1}$ ,Na<sub>2</sub>MoO<sub>4</sub> $1\text{mg}\cdot\text{L}^{-1}$ ,ZnCl<sub>2</sub> $2\text{mg}\cdot\text{L}^{-1}$ ,NaNO<sub>3</sub> $1\,000\text{mg}\cdot\text{L}^{-1}$ ,pH 7.2,121 $^\circ\text{C}$ 灭菌20 min.

#### 1.2.2 反硝化菌的筛选

从转鼓中取1g生物填料投入99mL无菌水并带有玻璃珠的三角瓶中,振荡使样品与水充分混匀然后用无菌吸管吸取1mL悬液到另一个盛有9mL的无菌水试管中,混合均匀依此类推制成 $10^{-2}$ 、 $10^{-3}$ 、 $10^{-4}$ 、 $10^{-5}$ 、 $10^{-6}$ 、 $10^{-7}$ 不同稀释度的溶液,取不同浓度的溶液50 $\mu\text{L}$ 涂布到分离培养基上,然后30 $^\circ\text{C}$ 培养1~3d,挑取周围有蓝色晕圈的单菌落.经多次划线纯化后分别接入复筛培养基中测定反硝化能力,将筛出的菌株斜面保存.

#### 1.2.3 形态学观察

将ND1接种至固体斜面培养基上,30 $^\circ\text{C}$ 培养12h后进行扫描电镜观察.

### 1.3 16S rDNA的PCR扩增和测序

PCR扩增:吸取一定量培养24h的菌悬液到ependorf管中,离心之后用DNA提取试剂盒获得菌株的DNA用于PCR扩增.16S rDNA的PCR反应的引物为一对通用引物正向引物BSF8/20:5'-AGAGTTTGATCCTGGCTCAG-3'(Escherichia coli的16S rDNA对应位置为8-27);反向引物BSR1541/20:5'-AAGGAGGTGATCCAGCCGCA-3'(Escherichia coli的16S rDNA对应位置为1541-1522).PCR反应体系<sup>[13]</sup>(50 $\mu\text{L}$ ):引物BSF8/20和引物BSR1541/20各1 $\mu\text{L}$ ,模板DNA1.75 $\mu\text{L}$ ,10 $\times$ PCR缓冲液5 $\mu\text{L}$ ,MgCl<sub>2</sub>(25 $\text{mmol}\cdot\text{L}^{-1}$ )3 $\mu\text{L}$ ,dNTP(2.5 $\text{mmol}\cdot\text{L}^{-1}$ )4 $\mu\text{L}$ ,Taq酶(5 $\text{U}\cdot\mu\text{L}^{-1}$ )0.25 $\mu\text{L}$ ,重蒸水34 $\mu\text{L}$ .PCR程序如下:94 $^\circ\text{C}$ 预变性2min;94 $^\circ\text{C}$ 1min,54 $^\circ\text{C}$ 退火1min,72 $^\circ\text{C}$ 延伸3min,经30个循环后72 $^\circ\text{C}$ 延伸10min.PCR产物纯化和测序由宝生物工程(大连)有限公司完成,自备引物.

系统发育分析:通过测序获得1438bp长度的片段,将获得的16S rDNA序列通过Blast程序与GenBank中核酸数据进行比对分析,用多序列对比工具ClustalX 1.8对选取的序列进行对比,然后通过MEGA 4软件用N-J法构建进化树.

### 1.4 反硝化活性测试

分别以硝酸根和亚硝酸根为唯一氮源(初始浓度  $400 \text{ mg} \cdot \text{L}^{-1}$ ),按 1% 接种加入  $D_{600}$  为 0.4 的菌液于复筛培养基中,摇床培养,隔 24 h 用分光光度法测定菌体生长量,用离子色谱法检测硝酸根及亚硝酸根离子浓度.

## 2 结果与分析

### 2.1 菌株 ND1 的形态特征

菌株 ND1 在分离培养基平板上培养 24 h 后形成特征性干燥、皱缩样菌落,黏附于琼脂表面,可产生黄色色素,以单极生鞭毛运动.革兰氏染色阴性,长杆状,菌体大小为  $(0.5 \sim 1.1 \times 1.5 \sim 2.3) \mu\text{m}$  (图 2).



图 2 菌株 ND1 的电镜扫描图 ( $\times 50\,000$ )

Fig. 2 SEM photo of strain ND1

### 2.2 生理生化特征

经 Biolog 碳源利用特性检测,菌株 ND1 可以利用 96 种碳源中的 34 种,与数据库中的 *Pseudomonas stutzeri* 匹配可能性为 100%,在有氧条件下可还原硝酸盐和亚硝酸盐,具有反硝化作用.具体的生化特征<sup>[14]</sup>见表 2.

表 2 ND1 主要的生化特征<sup>1)</sup>

鉴定指标	ND1 菌株
接触酶试验	+
氧化酶试验	+
荧光色素试验	-
甲基红试验	-
V-P 试验	-
明胶液化试验	-
硫化氢试验	-
淀粉水解试验	+
精氨酸双水解试验	-

1) +: 阳性或有反应; -: 阴性或没有反应

### 2.3 菌株的系统发育分析

测序后,得到长度为 1 438 bp 菌株的 16S rDNA 的序列.通过 Blast 比对发现 ND1 与假单胞菌属中的 *Pseudomonas stutzeri* 相似性达 97%,申请序列号

GQ401024,得到的系统进化发育树结构如图 3,其中脱氮副球菌 (*Paracoccus denitrificans*) 被定义为外群.从系统发育树上来看,菌株 ND1 与 *Pseudomonas stutzeri* 菌的遗传距离最近,而且结合生理生化特征分析,故确定菌株 ND1 与 *Pseudomonas stutzeri* 菌关系最近,与之前相关文献报道的结果相似<sup>[15-17]</sup>,这对于生物转鼓中菌落结构的组成是一种新的探索.

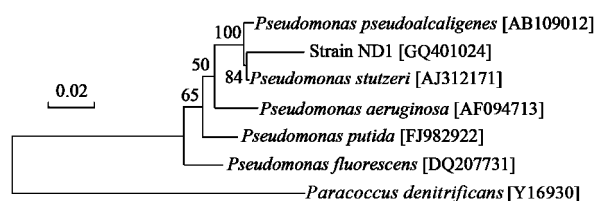


图 3 基于 16S rDNA 序列同源性用 Neighbor-Joining 法构建的菌株 ND1 和其他相关细菌的系统发育树

Fig. 3 Phylogenetic tree of strain ND1 and other closely related species based on the 16S rDNA sequence by Neighbor-Joining

### 2.4 菌株 ND1 的反硝化能力

在分别以硝酸钠和亚硝酸钠为唯一氮源的复筛培养基中,按 1% 接种加入  $D_{600}$  为 0.4 的菌液,利用离子色谱检测硝酸及亚硝酸根离子浓度,同时  $D_{600}$  测定菌体生长量.菌体生长曲线及溶液中硝酸根、亚硝酸根浓度的变化曲线如图 4 所示.由图 4 (a) 可知,在以硝酸钠为唯一氮源时,48 h 内硝酸盐浓度被降解 80% 左右,亚硝酸盐浓度在这一时期内达到  $40 \text{ mg} \cdot \text{L}^{-1}$  的最高值,4 d 后硝酸盐被完全降解.由图 4 (b) 可知,在以亚硝酸钠为唯一氮源时,48 h 内也能达到 80% 左右的降解率,但在培养的第 1 d 只降解了 12%,这与硝酸钠为氮源第 1 d 的降解率 36% 形成鲜明对比,这说明在以亚硝酸这种具有毒性的物质作为氮源时,ND1 需要一定的适应时间,而从接下来的降解效率来看,高浓度的亚硝酸盐并没有杀死或抑制其反硝化过程,反而在适应之后菌体生长达到峰值,从而使亚硝酸浓度迅速下降.在两组实验中,其反硝化作用都主要发生在对数生长期,这是因为细菌在这个时期生长速度达到最大,细胞合成所需要的能量和还原力主要在这一阶段被消耗,所以对数生长期是反硝化效率最高的时期.在转鼓环境中由于  $\text{NO}_x$  废气在络合作用下转入液相形成离子形式的硝酸根亚硝酸根,亚硝酸根离子对于一般微生物具有毒性作用,而 ND1 在含有高浓度的亚硝酸根溶液中虽然开始需要一定时间的适应,但在短时间内依然可以达到较高的降解能力,这对于保护转鼓中其他菌群的活性以及反硝

化过程中从离子状态的亚硝酸根到气态的氮化物的转变非常重要. 亚硝酸盐在几天后依然维持在一定浓度, 这可能是培养中营养物质如碳源等被不断利用, 营养物质浓度逐渐降低, 最后成为限制性因素, 故细菌无法获得足够的营养物质来合成足够的酶系, 因此它的降解能力受限, 从而导致亚硝酸盐的浓度保持不变.

## 2.5 讨论

ND1 菌株是典型的兼氧反硝化细菌, 在不同氧

浓度的条件下反硝化作用并无明显变化, 氧不是抑制反硝化酶活性和反硝化酶生成的直接因素, 这和文献[18,19]的研究具有相似性. ND1 的反硝化作用主要发生在指数期, 在分别以  $400 \text{ mg} \cdot \text{L}^{-1}$  的硝酸根和亚硝酸根作为唯一氮源时, 2 d 内降解率可以达到 80% 左右, 5 d 后硝酸根降解完全, 亚硝酸根也达到了 85% 的降解效果. ND1 对亚硝酸这种具有毒性的物质具有一定的适应性, 能够降解高浓度的亚硝酸盐.

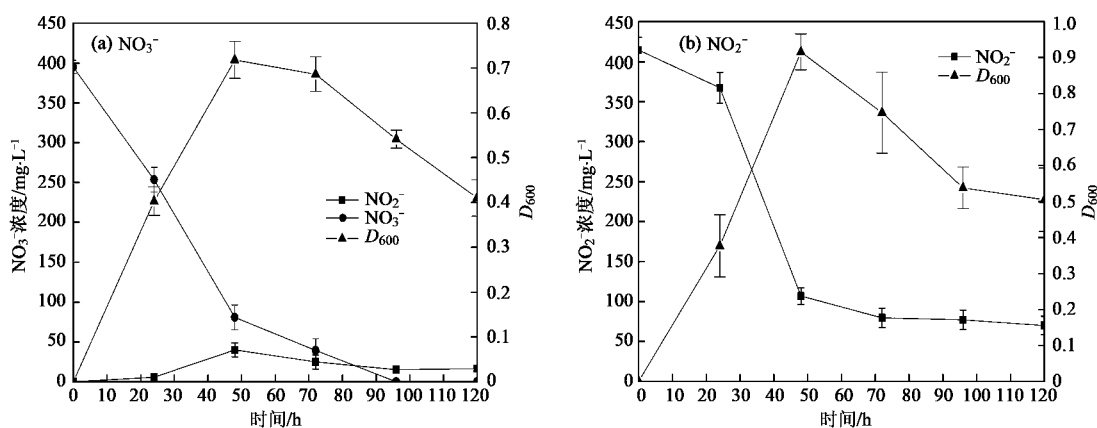


图 4 菌株分别以  $\text{NO}_3^-$  和  $\text{NO}_2^-$  为唯一氮源的反硝化作用

Fig.4 Denitrification of strain ND1 utilizing different sole nitrogen source

## 3 结论

(1) 综合菌株的外部形态特性、生理生化特性、Biolog 碳源利用特性以及菌株的 16S rDNA 系统发育分析, 从处理效率稳定在 85% 的厌氧  $\text{NO}_x$  生物转鼓过滤器中筛选到的 ND1 菌株为施氏假单胞菌 (*Pseudomonas stutzeri*).

(2) 对微生物的纯培养以及反硝化性能的测定, 再还原回生物转鼓系统, 这既是对生物转鼓中菌落结构的组成是一种新的探索, 也为反硝化工艺的设计提供生物学参数.

### 参考文献:

[1] Richter A, Burrows J P, Nuss H, et al. Increase in tropospheric nitrogen dioxide over China observed from space [J]. Nature, 2005, **437**(7055):129-132.  
 [2] 郝吉明, 田贺忠. 中国氮氧化物排放现状、趋势及控制对策 [EB/OL]. <http://www.dsdne.org.cn/html/jishuwenzhang/2006/0809/848.html>, 2006.  
 [3] Jin Y M, Veiga M C, Kennes C. Bioprocesses for the removal of nitrogen oxides from polluted air [J]. J Chem Technol Biot, 2005, **80**(5):483-494.  
 [4] Patwardhan A W. Rotating biological contactors: A review [J]. Ind Engineering Chemistry Research, 2003, **42**:2035-2051.

[5] Yang C, Suidan M T, Zhu X. Comparison of single-layer and rotating drum biofilters for VOC removal [J]. Environl Progr, 2003, **22**:87-94.  
 [6] Yang C, Suidan M T, Zhu X. Removal of a volatile organic compound in a hybrid rotating drum biofilter [J]. J Environ Eng, 2004, **130**:282-291.  
 [7] Li W, Wu C Z, Zhang H S. Evaluation of microbial reduction of  $\text{Fe}(\text{III})$  EDTA in a chemical absorption-biological reduction integrated  $\text{NO}_x$  removal system [J]. Environ Sci Technol, 2007, **2**:639-644.  
 [8] Van Der Maas P, Harmsen L, Weelink S. Denitrification in aqueous FeEDTA solutions [J]. J Chem Technol Biot, 2004, **79**:835-841.  
 [9] Wang J D, Wu C Q, Chen J M. Denitrification removal of nitric oxide in a rotating drum biofilter [J]. Chem Eng J, 2006, **121**:45-49.  
 [10] Chen J, Jiang Y F, Sha H L, et al. Effect of key parameters on nitric oxide removal by an anaerobic rotating drum biofilter [J]. Environ Technol, 2008, **29**(11):1241-1247.  
 [11] Chen J, Jiang Y F, Chen J M, et al. Dynamic model for nitric oxide removal by a rotating drum biofilter [J]. J Hazard Mater, 2009, **168**:1047-1052.  
 [12] Chen J, Wang Z Y, Jiang Y F, et al. Assessment of the bacterial community for denitrifying removal of nitric oxide in a Rotating Drum Biofilter by Denaturing Gradient Gel Electrophoresis [J].

- Environ Eng Sci, 2009, **26**(7):1189-1196.
- [13] Geets J, Cooman M D, Wittebolle L, *et al.* Real-time PCR assay for the simultaneous quantification of nitrifying and denitrifying bacteria in activated sludge [J]. Appl Microbiol Biotechnol, 2007, **75**:211-221.
- [14] 东秀珠, 蔡妙英. 常见细菌系统鉴定手册[M]. 北京: 科学出版社, 2001. 349-399.
- [15] Karimniae-Hamedani H R, Kanda K, Kata F. Denitrification activity of the bacterium *Pseudomonas* sp. ASM-2-3 isolated from the Ariake Sea Tideland[J]. J Biosci Bioeng, 2004, **97**(1):39-44.
- [16] Diep C N, Cam P M, Vung N H, *et al.* Isolation of *Pseudomonas stutzeri* in wastewater of catfish fish-ponds in the Mekong Delta and its application for wastewater treatment [J]. Bioresource Technol, 2009, **100**:3787-3791.
- [17] Shi H Z, Li W, Cheng Z W, *et al.* Reduction of Fe(II) EDTA-NO by a newly isolated *Pseudomonas* sp. strain DN-2 in  $\text{NO}_x$  scrubber solution [J]. Appl Microbiol Biotechnol, 2007, **76**:1181-1187.
- [18] 王宏宇, 马放, 苏俊峰, 等. 好氧反硝化菌株的鉴定及其反硝化特性研究[J]. 环境科学, 2007, **28**(7):1548-1522.
- [19] 苏俊峰, 王继华, 马放, 等. 好氧反硝化细菌的筛选鉴定及处理硝酸盐废水的研究[J]. 环境科学, 2007, **28**(10):2332-2335.

## 关于反对个别作者一稿两投行为的联合声明

为保证所发表论文的首创性和学术严谨性,《环境科学》、《中国环境科学》、《环境科学学报》编辑部和《Journal of Environmental Sciences》编辑部特发表如下联合声明。

我们明确反对个别作者的一稿两投或变相一稿两投行为. 自即日起, 我们各刊在接受作者投稿时, 要求论文全体作者就所投稿件作出以下承诺(附在投稿上):

1) 来稿所报道的研究成果均系全体作者的原创性研究成果, 文中报道的研究成果(含图、表中数据的全部或部分)未曾发表亦未曾投其它科技期刊。

2) 在接到所投期刊编辑部关于稿件处理结果之前, 所投稿件的全部或部分内容不再投其它科技期刊。

我们将认真对待作者所作的上述承诺, 并建立信息共享机制, 对违背上述承诺的作者(包括在文中署名的全体作者)采取联合行动。

净化学术环境、促进学术繁荣是学术期刊作者和编者的共同责任. 我们诚恳地希望广大作者能够了解我们的上述立场和做法, 并积极宣传和配合。

《环境科学》编辑部

《中国环境科学》编辑部

《环境科学学报》编辑部

《Journal of Environmental Sciences》编辑部